

# 低濁水の直接ろ過における粒子分離効率の高効率化

## Improving Particle Separation Efficiency in Direct Filtration of Low Turbidity Source Water

北見工業大学 フェロー 海老江 邦 雄 (Kunio Ebie)  
 " 学生員 ○山 田 直 之 (Naoyuki Yamada)  
 " 学生員 張 一 憲 (Il-Hun Jang)  
 " 学生員 樋 口 真 也 (Shinya Higuchi)

### 1. ま え が き

水道の蛇口水に起因する感染性原虫の流出事故が契機となって、地下水やbank filtration後の水など、1~2度以下の低濁原水を塩素処理のみで給水している多くの浄水場では、その一つの解決策として直接ろ過法への切り換えを考えている。そのような低濁原水を急速ろ過プロセスで処理する場合、一般化している凝集剤の過剰注入法で対応しても、満足できる処理性を得ることはできない。それと同時に、ろ過池の短時間閉塞、ろ過水へのアルミニウム漏出量の増加など、浄水施設の維持管理上の問題を引き起こすことになる。

本論は、低濁原水の直接ろ過技術を開発することを目的に、凝集剤注入率及び急速攪拌条件(強度:G 値及び時間:T 値)を段階的に変動させた一連の実験を行い、直接ろ過法の基本的な処理特性を把握した後、G 値及びT 値の適正化が凝集剤注入率の低減化、ろ過損失水頭の抑制及び初期漏出期を含むろ過水濁度の改善に極めて有効なことを明らかにしている。

さらに、初期漏出期におけるろ過水濁度の改善を目的として、凝集剤注入率をろ過開始から短時間上昇させること、及びろ過開始から 20 分間 3 段の低速スタートろ過を行って、ろ層上部に薄い熟成層を生成しておくことの有効性を明らかにしている。

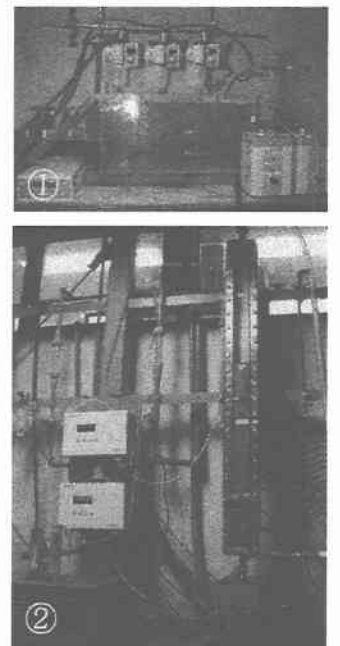
### 2. 実験方法及び実験条件

#### 1) 実験方法および条件

本論では、写真1及び図1に示す直接ろ過システム採用のベンチスケールのろ過実験装置を使用した。ろ過筒の断面積は約 52cm<sup>2</sup>、その内部に珪砂を(有効径 0.61mm、

均等係数 1.39、比重 2.60) 厚さ 60cm(空隙率 44.3%)に充填した。ろ過原水としては表1の水質を持つ北見工業大学水道水(深井戸水、濁度 0.05~0.03mg/L程度)に、濁質成分として表2に示す粒径分布を持つカオリン 1 mg/L(濁度 1.434mg/L)を注入したものをを使用した。PAC 注入率は1、3、5mg/L、急速攪拌条件としては強度(G)150、450、750s<sup>-1</sup>、時間(T) 1、5、10 分間を採用した。また、ろ過初期に凝集剤注入率を上昇させる実験では G 値 750s<sup>-1</sup>、T 値 5 分間を採用し、基本の PAC 注入率は 3mg/L とした。

ろ速はいずれの実験においても 120m/d とした。損失水頭についてはガラス管マンメータを用いてろ層 5cm 間隔で、また、濁度は微粒子アナライザ付き高感度濁度計(富士電機製、Z Y U)で測定した。また、Al 濃度はオキシシ法による吸光光度法で定量した。



① 前処理部  
 ② ろ過部及び測定  
 写真1 直接ろ過実験装置

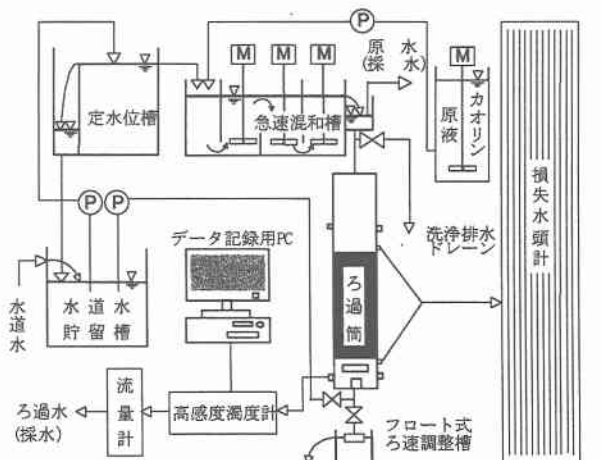


図1 直接ろ過実験装置

表1 北見工業大学水道水水質(深井戸水)

項 目	測定値	項 目	測定値
水 温 (°C)	9.5	蒸 発 残 留 物 (mg/L)	231
pH 値 (-)	6.5	塩 素 イ オ ン (mg/L)	16.1
濁 度 (mg/L)	<1.0	KMnO <sub>4</sub> 消 費 量 (mg/L)	0.5
アルカリ度 (mg/L)	57	全 鉄 (mg/L)	0.15
硬 度 (mg/L)	74.7	マ ン ガ ン (mg/L)	ND

表2 カオリン 1mg/L 注入時によるろ過原水中の粒子数(個/mL)とその割合(%)

サイ ズ (μm)	0.5~1.0	1.0~3.0	3.0~7.0	>7.0
個 数 (個/mL)	1,137,028	43,656	5,621	243
割 合 (%)	95.83	3.68	0.05	0.02

## 2) 初期漏出時間の決定

低濁原水の直接ろ過では、初期漏出の長時間化など、この時期のろ過水濁度の抑制が重要となる。ろ過開始からのろ過水濁度の経時変化は、図2に掲げるように初期漏出期と清澄安定期から成る。本論では、図2に示す方法によって初期漏出時間を決定した。すなわち、ろ過水濁度ピーク出現後の濁度低下区間の延長線と安定期の延長線との交点Aを求める。次に、点Aにおける交角の2等分線とろ過水濁度曲線との交点を、初期漏出期から安定期への遷移点とした。その遷移点におけるろ過時間を初期漏出時間 $t_l$ 、及びこの時のろ過水濁度を $T_u$ とした。

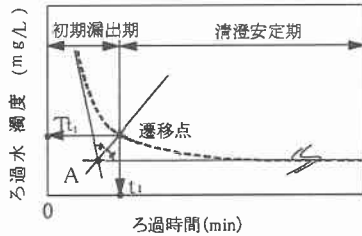


図2 初期漏出時間

## 3. 結果および考察

### 3.1 急速攪拌条件が処理水水質に及ぼす影響

表3は、G値 $150s^{-1}$ 、T値1minでPAC注入率を順次増加させた場合のろ過水水質及び損失水頭発生量を示している。PAC注入率 $1mg/L$ における安定期(ろ過12~18時間)の濁度は $0.044mg/L$ と $0.1mg/L$ 以下となっているのに対して、初期漏出期におけるピーク濁度は $0.433mg/L$ と非常に高く、直接ろ過においてはこの初期漏出濁度をいかに抑制するかが重要である。また、PAC注入率の増加に伴い、各項目におけるろ過水濁度及び初期漏出時間は改善されているが、ろ過水Alは増加し、さらにもろ過18時間までの損失水頭は、注入率 $1mg/L(5.1cm)$ を基準にすると、 $3mg/L$ では4.9( $25.2cm$ )、 $5mg/L$ では8.3倍( $42.1cm$ )へと、大幅に増加している。このことは、ろ過による粒子分離効率を向上させるための注入率増加が、損失水頭の上昇を招いていることを意味する。そこで、初期漏出濁度の抑制とろ過時間の延長化とを目的に、急速攪拌条件の最適化について検討した。

表3 従来の攪拌条件における処理性

PAC (mg/L)	初期濁質漏出期		安定期		ろ過18時間	
	ピーク濁度 (mg/L)	時間 (min)	濁度 (mg/L)	濁度 (mg/L)	Al (mg/L)	損失水頭 (cm)
1	0.433 (-)	192 (-)	0.017 (-)	0.044 (-)	0.0224 (-)	5.1 (-)
3	0.132 (69.5)	121 (37.0)	0.002 (88.2)	0.010 (77.3)	0.0410 (1.8)	25.2 (4.9)
5	0.091 (79.0)	85 (55.7)	0.002 (88.2)	0.006 (86.4)	0.0542 (2.4)	42.1 (8.3)

下段括弧内は、PAC $1mg/L$ を基準とした場合の改善率(%)  
なお、Al及び損失水頭の場合は倍率(-)

図3は、G値 $150s^{-1}$ のもとでT値1、5、10minとした場合のろ過水濁度を示している。同図より、いずれの注入率においても、T値を1から5minにすると、ピーク濁度は低下し、初期漏出時間は短くなっている。さらに、T値を5minから10minに上昇させると、ピーク濁度は僅かながら上昇し、初期漏出時間が長くなっている。このことは、攪拌時間が長くなるとフロックは劣化し、ろ過池を通過する粒子が増加することを意味する。また、損失水頭発生量は、T値を1minから5min、10minへと

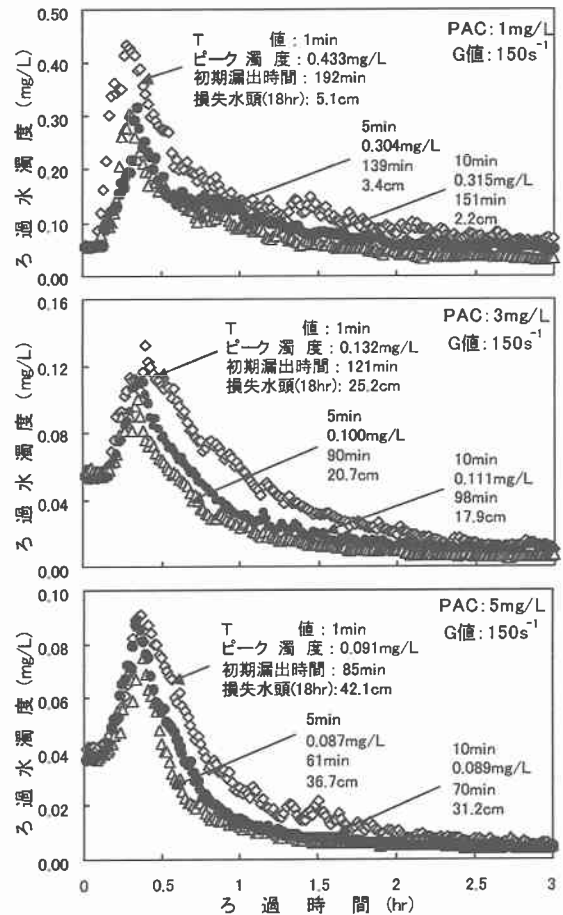


図3 T値に伴うろ過水濁度の動き

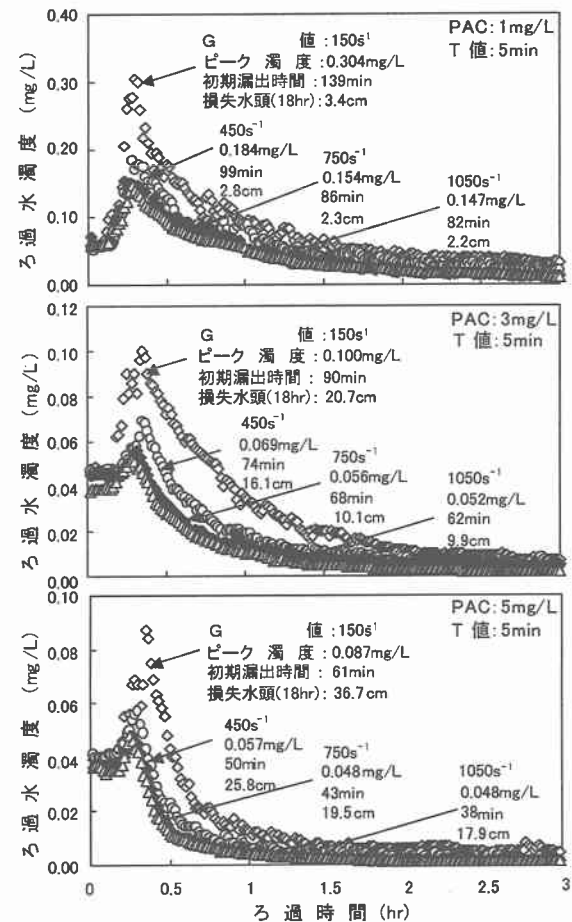


図4 G値に伴うろ過水濁度の動き

長くすることによりいずれの注入率においても低下している。ろ過水濁度及び損失水頭発生量の観点から、T値 5minにおける処理性が最適であると判断した。

ついで、G値に関しては、T値を 5min に設定して、G 値を 150、450、750、1050s<sup>-1</sup>と変動させた。その結果を図 4 に示す。ろ過水濁度は、清澄期にはG値の上昇に伴う改善は僅かであるが、ろ過初期におけるろ過水濁度、初期漏出時間、ならびにろ過 18 時間までの損失水頭はいずれも低下している。しかしながら、いずれの注入率の場合にも、G 値 750s<sup>-1</sup>から 1050s<sup>-1</sup>に上昇させた場合には、いずれの項目についても殆ど改善は認められなかった。

以上のことから、低濁水の直接ろ過における最適攪拌 (G 値 750 s<sup>-1</sup>、T 値 5min)及び従来より採用されている G 値 150 s<sup>-1</sup>、T 値 1min の条件もとで、凝集剤注入率を変えたるろ過実験を行った。表 4 は、これらの実験における処理結果を示している。同表から、初期漏出期におけるピーク濁度及び時間は、いずれの注入率の場合にも改善率 50%前後であり、攪拌条件の最適化は初期漏出濁度の抑制に非常に有効であることが明らかとなった。また、ろ過 18 時間までのろ過水 AI 及び損失水頭については攪拌条件を最適化することで大幅に改善することができた。さらに、従来の攪拌条件(G 値 150 s<sup>-1</sup>、T 値 1min)ではピーク濁度を 0.1mg/L 以下に抑制するためには、注入率 5mg/L 必要であったが、攪拌条件を最適化すれば、注入率 3mg/L でピーク濁度を 0.1mg/L 以下の 0.056mg/L に抑えることができた。このことは、最適攪拌条件の採用により、凝集剤注入量を削減できることを証明している。

表 4 最適攪拌条件による処理性改善

PAC (mg/L)	攪拌条件		初期漏出期		安定期		ろ過 18 時間	
	G値 (s <sup>-1</sup> )	T値 (min)	ピーク濁度 (mg/L)	時間 (min)	濁度 (mg/L)	濁度 (mg/L)	AI (mg/L)	損失水頭 (cm)
1	150	1	0.433	192	0.017	0.044	0.0224	5.1
	750	1	0.154	86	0.007	0.014	0.0118	2.3
	改善率 (%)		(64.4)	(55.2)	(58.8)	(68.2)	(47.6)	(54.9)
3	150	1	0.132	121	0.002	0.010	0.0410	25.2
	750	1	0.056	68	0.001	0.004	0.0229	10.1
	改善率 (%)		(57.6)	(43.8)	(50.0)	(60.0)	(44.1)	(59.9)
5	150	1	0.091	85	0.002	0.006	0.0543	42.1
	750	1	0.048	43	0.001	0.002	0.0318	19.5
	改善率 (%)		(47.3)	(49.4)	(50.0)	(66.7)	(41.4)	(53.7)

### 3. 2 ろ過初期注入率の上昇による処理性改善

凝集効果を左右する急速攪拌条件について検討した結果、最適攪拌条件はG値 750 s<sup>-1</sup>、T値 5min であることがわかった。ここでは、初期漏出濁度の改善を目的に、PAC 注入率をろ過開始から短時間上昇させることの効果について検討する。

今回用いた実験装置においては、ろ過開始から 20 分程度経過した後にピーク濁度が現れるため、ろ過開始 20 分間を PAC 注入率上昇時間とした。その結果を図 5 及び表 5 に掲げる。また、基本となる注入率としては、安定期における濁度及び損失水頭などから判断し、3mg/L を採用した。ろ過水濁度の動きを見ると、初期注入率の上昇に伴い、ピーク濁度は低下しているが、いずれの場合にもろ過開始から 20 分以降は基本注入率 3mg/L となるため、濁度低下区間の低下勾配は、ほぼ一様である。

初期漏出期におけるピーク濁度は、ろ過初期における注入率の上昇に伴って低下し、ろ過初期 20 分間の注入率を 5、7.5mg/L と上昇させることにより、改善率は 15.5、25.9%となり、10mg/L まで上昇させた場合には、ピーク濁度は確認できなかった。初期漏出期における濁度、時間及びろ過 6 時間におけるろ過水濁度は、ピーク濁度と同様に、ろ過初期注入率の増加に伴って改善されている。一方、初期注入率を 3mg/L から 10mg/L まで増加させた場合、ろ過 6 時間までのろ過水 AI は 1.9、損失水頭発生量は 1.4 倍である。

粒子の抑留をろ層の上層部に限定させ、ろ層の薄い上層部を早期に熟成させることがろ過初期における濁質濃

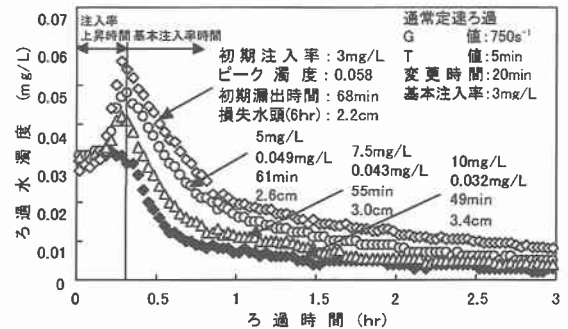


図 5 ろ過初期注入率上昇に伴うろ過水濁度

表 5 ろ過初期注入率上昇に伴う処理性

初期注入率 (mg/L)	初期漏出期			ろ過 6 時間		
	ピーク濁度 (mg/L)	濁度 (mg/L)	時間 (min)	濁度 (mg/L)	AI (mg/L)	損失水頭 (cm)
3	0.058	0.033	68	0.013	0.0229	2.2
	(-)	(-)	(-)	(-)	(-)	(-)
5	0.049	0.031	61	0.01	0.0311	2.6
	(15.5)	(6.1)	(10.3)	(23.1)	(1.4)	(1.2)
7.5	0.043	0.026	55	0.007	0.0361	3.0
	(25.9)	(21.2)	(19.1)	(46.2)	(1.6)	(1.4)
10	-	0.022	49	0.005	0.0433	3.4
	(-)	(33.3)	(273.9)	(61.5)	(1.9)	(1.5)

下段括弧内は、初期注入率 3mg/L を基準とした場合の改善率(%)

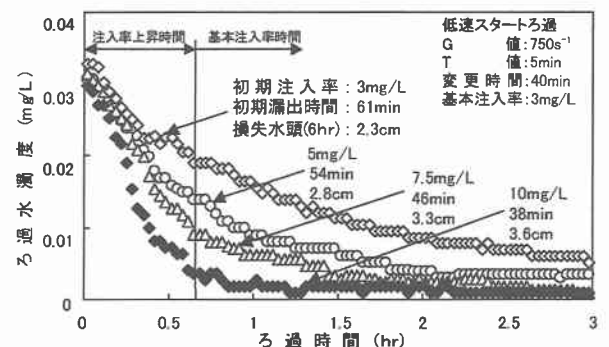


図 6 初期注入率上昇と低速スタートろ過

表 6 初期注入率上昇と低速スタートろ過

初期注入率 (mg/L)	初期漏出期			ろ過 6 時間		
	ピーク濁度 (mg/L)	濁度 (mg/L)	時間 (min)	濁度 (mg/L)	AI (mg/L)	損失水頭 (cm)
3	-	0.022	61	0.009	0.0215	2.3
	(-)	(-)	(-)	(-)	(-)	(-)
5	-	0.019	54	0.006	0.0231	2.8
	(-)	(13.6)	(11.5)	(33.3)	(1.1)	(1.2)
7.5	-	0.018	46	0.004	0.0251	3.3
	(-)	(18.2)	(24.6)	(55.6)	(1.2)	(1.4)
10	-	0.015	38	0.003	0.0291	3.6
	(-)	(31.8)	(37.7)	(66.7)	(1.4)	(1.6)

下段括弧内は、初期注入率 3mg/L を基準とした場合の改善率(%)

出の抑制効果を発揮することは既に報告した。ここでは、初期漏出の更なる改善を目的とし、ろ過初期に PAC 注入率の上昇時間を設けた低速スタートろ過について検討した。その結果を、図 6 及び表 6 に示す。ここで、20 分間 3 段の低速スタートろ過とは、ろ過開始から 20 分間を最終ろ速の 1/3 のろ速(40m/d)、次の 20 分間を最終ろ速の 2/3 (80m/d)のろ速でろ過を行い、その後はろ過終了時間まで最終ろ速(120m/d)で運転するろ過方法である。この方法に従った場合、ろ過開始から 40 分間の低ろ速期間における処理水は、通常定速ろ過における 20 分相当量となる。そこで、ろ層内への PAC 供給量を同量にするため、注入率の上昇時間をろ過開始より 40 分間とした。

まず、ろ過水濁度の動きを見ると、低速スタートろ過を採用することにより、いずれの注入率においてもろ過開始直後から低下し、ピーク濁度は完全に消失している。また、ろ過初期の注入率を上昇させることにより、通常定速ろ過と同様に初期漏出濁度、時間及びろ過 6 時間における濁度を改善することができた。

図 7 及び表 7 で、通常定速ろ過と低速スタートろ過の基本注入率時間における処理性を示している。ここでは、通常定速ろ過と低速スタートろ過とを比較するために、基本注入率時間を注入率変更時間より 5 時間とした。ろ過水濁度の動きについて見ると、いずれの注入率においても、低速スタートろ過を採用することにより、注入率変更時(ろ過開始より 40min)の濁度は大幅に改善され、初期注入率 10mg/L では、注入率変更時の除去率が 99.9%と非常に高くなっている。注入率変更時の濁度は、注入率 5 で 68.9%(0.045mg/L→0.014mg/L)、7.5 で 76.3%(同 0.045→0.014)、10mg/L で 86.7%(同 0.030→0.004)の大幅な改善を確認することができた。また、低ろ速スタート法を採用することにより、いずれの注入率においても基本注入率時間におけるろ過水濁度及びろ過

水 Al は大きく改善されている。

以上の結果、低濁水の直接ろ過では、処理性が悪くなるろ過初期において、注入率上昇時間を設けることがろ過初期及び安定期におけるろ過水濁度の改善に効果的であり、さらに、低速スタートろ過と併用することで、ろ過初期におけるろ過水濁度を著しく改善させる。また、基本注入率時間における処理性にも大きく影響することがわかった。

#### 4. ま と め

低濁原水を対象に、初期濁質漏出及び損失水頭発生量の抑制を目的に直接ろ過実験を行い、以下の知見を得た。

- 1) 初期漏出期のピーク濁度と時間、及び損失水頭の発生量に、急速攪拌 G 値及び T 値が大きく影響を及ぼす。
- 2) 攪拌条件を最適化することにより、従来よりも少ない凝集剤注入率 3mg/L で良好な処理を達成できた。また、損失水頭発生量を大幅に抑制できることから、ろ過継続時間を延長させることができることを示した。
- 3) 処理性が悪化するろ過初期に注入率を上昇させることによって、僅かな損失水頭発生量で、初期漏出期におけるピーク濁度、ならびに安定期における濁度を改善できることが明らかとなった。
- 4) 低速スタートろ過においても、ろ過初期に注入率を上昇させて、ろ層上部に薄い熟成層を形成しておくことにより、注入率変更時から 0.003mg/L 程度の極めて清澄なる過水を生産することが可能であることを示した。

#### 5. あとがき

一連の実験に協力いただいた北見工業大学工学部土木開発工学科上下水道工学研究室の輪島秀則技官及び学生各位に心から感謝する。

#### 【 文 献 】

- 1) 海老江 邦雄・李 富生・湯 浅 晶：改良ジャーテースト法による天然有機着色成分の直接ろ過性の評価、環境工学研究論文集、第 32 巻、pp.9~18、1995
- 2) 海老江 邦雄・東 義洋・浅 香 博則、山木 暁、萩 下 隆：凝集処理における攪拌条件の最適化に関する基礎的検討、第 52 回全国水道研究発表会講演集、pp.96~97、2001.5
- 3) 海老江 邦雄・東 義洋・山木 暁・李 宰昊：凝集沈澱処理に及ぼす急速攪拌条件の基礎的検討、平成 13 年度全国土木学会第 56 回年次学術講演集、土木学会 CD-ROM、VII-232、2001.10
- 4) 海老江 邦雄・渋谷 真祐：直接砂ろ過における初期漏出濁度の抑制に関する研究、水道協会雑誌、第 63 巻、第 8 号(第 719 号)、pp.10~20、(1994.8.) 1) 角田 省吾・青柳 由重：直接凝集ろ過法に関する実験的研究、水道協会雑誌、第 48 号、pp.2~10、1975
- 5) 丹保 憲仁：水処理における凝集機構の基礎的研究(III)、硫酸アルミニウムによる粘土系濁質の凝集、水道協会雑誌、365 号、pp.25~37、1965.2
- 6) 松井 佳彦・小川 和延、丹保 憲仁：PDA と微粒子カウンターを用いた最適急速攪拌条件に関する研究、水道協会雑誌、715 号、pp.42~50、1994.4

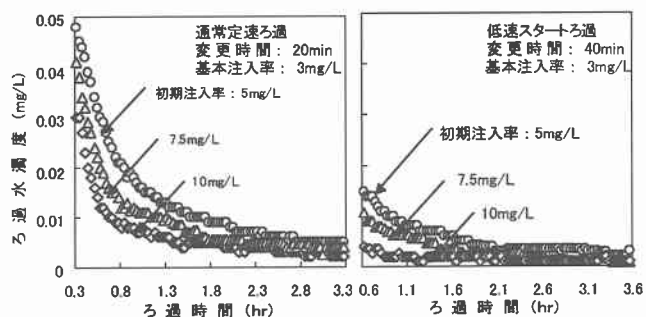


図 7 基本注入率時間におけるろ過水濁度

表 7 低速スタートろ過による処理性改善

初期注入率 (mg/L)	ろ過方法	基本注入率時間			
		変更時濁度 (mg/L)	濁度 (mg/L)	Al (mg/L)	損失水頭 (cm)
5	通常定速ろ過	0.045	0.009	0.0326	2.3
	低速スタートろ過	0.014	0.004	0.0243	2.5
	改善率 (%)	(68.9)	(55.5)	(47.6)	(1.04)
7.5	通常定速ろ過	0.038	0.006	0.0379	2.7
	低速スタートろ過	0.009	0.002	0.0264	3.0
	改善率 (%)	(76.3)	(66.7)	(44.1)	(1.07)
10	通常定速ろ過	0.030	0.004	0.0454	2.9
	低速スタートろ過	0.004	0.001	0.0306	3.2
	改善率 (%)	(86.7)	(75.0)	(41.4)	(1.03)